

بررسی تأثیر نفوذپذیری بستر کanal مسطح بر ویژگی‌ها و ساختار متوسط جریان آشفته در تخلخل‌های گوناگون

مهدی شفیعی فر^{*}، مهدی عجمی^۲، علی‌اکبر صالحی نیشابوری^۳

- ۱- استاد گروه سازه‌های دریایی، دانشکده مهندسی عمران و محیط زیست، دانشگاه تربیت مدرس
- ۲- استادیار گروه سازه‌های هیدرولیکی و دریایی، دانشکده مهندسی عمران و معماری، دانشگاه صنعتی شاهروд
- ۳- استاد گروه سازه‌های هیدرولیکی، دانشکده مهندسی عمران و محیط زیست و پژوهشکده مهندسی آب، دانشگاه تربیت مدرس

shafiee@modares.ac.ir

تاریخ پذیرش: ۱۳۹۲/۰۴/۲۰

تاریخ دریافت: ۱۳۹۱/۰۸/۲۴

چکیده- بستر نفوذپذیر با دو ویژگی اصلی آن، قطر متوسط (نمایندهٔ درشتی ذرات) و تخلخل (نمایندهٔ درصد نفوذپذیری)، بیان می‌شود. در مقاله حاضر تأثیر نفوذپذیری بستر بر ساختار متوسط آشفتگی جریان بررسی شده است. جریان، روی یک بستر نفوذپذیر به روش پیوستار با بهره‌گیری از معادلات متوسط‌گیری شده حجمی ناویر استوکس مدل‌سازی شده و نتایج چهار شبیه‌سازی با تخلخل‌های گوناگون ارائه شده است. نفوذپذیری بستر را می‌توان به وسیلهٔ عدد رینولدز نفوذپذیری (نسبت قطر مؤثر حفره‌ها به مقیاس طولی گردابه‌های آشفتگی مجاور بستر، Re_k) توصیف کرد. در Re_k ‌های کوچک، بستر به صورت مرز صلب رفتار کرده و به عکس در Re_k ‌های بزرگ، مرز میدان مانند بسته با نفوذپذیری زیاد (با اثرات لزجت قابل اغماض) رفتار خواهد کرد. در این شرایط، گردابه‌های آشفتگی نزدیک بستر در امتداد جریان به ندرت قابل تشخیص خواهند بود. می‌توان دلیل این امر را (۱) انتقال آزاد آشفتگی در مرز نفوذپذیر و (۲) کاهش تنش برشی متوسط به واسطه عدم وقوع پدیده‌ی انسداد بستر و تأثیر ناچیز لزجت ناشی از حضور بستر دانست. مشخصه غالب آشفتگی در مجاور بستر با نفوذپذیری زیاد، ساختارهای گردابه‌ای نسبتاً بزرگی هستند که احتمالاً نشات گرفته از پدیده‌ی ناپایداری کلوین-هلمهولتز جریان هستند. همین ساختارها عامل تبادل مومنتوم بین جریان عمومی کanal و جریان دوفازی داخل بستر نفوذپذیر است. این فرایند سبب افزایش اصطکاک بستر شده و در نتیجه محدوده برآش ناحیه لگاریتمی کمی به سمت پایین مستقل می‌شود. فرون بر این مشاهده گردیده که شب منحنی قانون لگاریتمی در حدود ۱/۰۴ برابر شبیع معمول آن در جریان‌های آشفته مجاور بستر های صاف و زیر است.

واژگان کلیدی: رویکرد پیوستار، بستر نفوذپذیر، جریان متوسط، معادلات ناویر-استوکس، جریان آشفته

۱- مقدمه

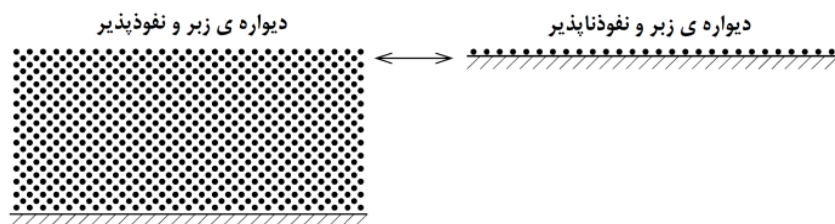
روداخانه‌ها و^(۳) جریان (و امواج) روی بستر ساحل اقیانوس‌ها را شامل می‌شود. در بررسی مثال جریان رودخانه با بستر متخلخل، انتظار می‌رود که نفوذپذیری بستر بر اصطکاک و ساختار جریان رودخانه (آشفتگی،

بررسی جریان‌های آشفته روی بستر نفوذپذیر طیف وسیعی از کاربردهای مهندسی و روزمره مانند (۱) جریان در چاهها و مخازن زیرسطحی نفت، (۲) جریان روی بستر متخلخل

نفوذناپذیر است (شکل ۱). در بیشتر مدل‌سازی‌ها برای هر دو نوع بستر نفوذپذیر و نفوذناپذیر، یک پارامتر زبری معادل سطح در نظر گرفته شده و با این کار تأثیر نفوذپذیری بستر در نظر گرفته نمی‌شود. البته محدود موارد استثنایی اما دقیقتری هم در برخی از مطالعات آزمایشگاهی مشاهده شده که از آنها می‌توان به کارهای زاگنی و اسمیت [۶]، زیپ و گراف [۷]، کونگ و شتر [۸] و راف و گلهار [۹] اشاره کرد. در مجموع آنچه از مشاهده پژوهشگران نام برده معلوم می‌شود، نشانگر تفاوت تأثیر نفوذپذیری و زبری بوده و تأثیر نفوذپذیری بستر بر دینامیک جریان و ساختار آشافتگی بسیار بیشتر است. پاسخ به این سوال که نفوذپذیری چگونه و به چه میزان آشافتگی و ساختار متوسط جریان را دستخوش تغییر قرار می‌کند، موضوعی است که در پژوهش حاضر به روش عددی و تکیه بر مشاهده آزمایشگاهی موجود به آن پرداخته شده است.

۲- روش‌های شبیه‌سازی عددی جریان روی بستر نفوذپذیر

دو رویکرد مختلف برای شبیه‌سازی عددی جریان روی بستر نفوذپذیر به کار گرفته می‌شود. راه اول و ساده‌تر به لحاظ محاسباتی، اعمال شرایط مرزی نفوذپذیری در بستر است. این روش اولین بار به وسیله‌ی هان و همکاران [۱۰] در شبیه‌سازی عددی مستقیم (DNS) جریان آشفته در کانال افقی با بستر نفوذپذیر استفاده شد. وی از شرایط مرزی اصلاح شده بیورز و جوزف [۱۱] استفاده کرد:



شکل (۱) تفاوت بستر زبر و نفوذپذیر با بستر نفوذناپذیر با زبری یکسان

سطح آزاد) تأثیرگذار باشد. چنین تأثیر خود باعث تغییر روند فرسایش بستر، تغییر روند تبادل اکسیژن بین جریان سطحی و جریان زیر سطحی و تجزیه‌ی مواد آلی (در مباحث میکروبیولوژی سیال و جریان) و دست آخر تغییر در روند پخش آلودگی در رودخانه (در مباحث زیست محیطی سیال و جریان) خواهد شد [۱]. از دیگر کاربردهای جالب و بسیار متدالو جریان آشفته روی بستر متخلخل، مدل‌های هواشناسی مناطق دارای پوشش گیاهی یا مصنوعی است که در آنها بسته به نوع کاربری و پوشش غالب منطقه، گیاهان، اینه یا ترکیبی از آنها با درصد وزنی و چگالی مشخص به عنوان لایه‌هایی از یک محیط متخلخل در نظر گرفته شده و شبیه سازی انجام می‌پذیرد [۲] و [۳].

علی‌رغم وجود گستره وسیعی از کاربردهای فعلی برای استفاده از نتایج مدل‌سازی جریان روی بستر نفوذپذیر، مطالعات کمی در این زمینه صورت گرفته که این کمی خاصه در مهندسی آب و زیرشاخه‌های آن بیشتر است. بستر نفوذپذیر به خاطر هیدرولیکی، یک بستر زبر هم هست؛ به این ترتیب یکی از عمدۀ پیچیدگی‌های مدل‌سازی جریان‌ها در این روش که جداسازی تأثیر نفوذپذیری بستر از زبری آن است آشکار می‌شود، و تابه حال راهکار قابل اعتماد و استنادی برای آن ارائه نشده است [۴] و [۵]. در مدل یک رودخانه، حضور بستر شنی چند لایه‌ای حاکی از نفوذپذیری و زبری هم‌زمان آن بستر بوده اما فرض وجود تنها یک لایه مصالح در بستر، به معنی لایه‌ای زبر اما

چنین موقعی، نتایج روش ساده تعریف شرط مرزی قابل اطمینان نیست. بنابراین مدل‌سازی دقیق میدان جریان در Re_k ‌های بزرگتر از طریق مدل‌سازی همزمان جریان در لایه‌های زیرین بستر ممکن است.

جریان در محیط‌های متخلخل شامل گستره‌ی وسیعی از مقیاس‌های طولی است. کوچکترین این مقیاس‌ها از درجه اندازه‌ی حفره‌ها یا اندازه‌ی ذرات جامد این محیط‌ها است. ابعاد محیط متخلخل نظیر عمق میدان به عنوان بزرگترین این مقیاس‌ها خواهد بود؛ البته گاهی جریان این مقیاس بیشینه به وسیله‌ی میدان جریان خارجی اعمال می‌شود. به هر حال مزیت شاخص و مفیدی که در این میان به چشم می‌خورد، فرق این مقیاس‌های کوچک و بزرگ، امکان جداسازی آنها و مدل‌سازی رفتارهای بزرگ مقیاس میدان است. پایه و راهکار تئوری این روش، رویکردی با عنوان متوسط‌گیری حجمی^۱ است که وايتاکر اولین بار آنرا بنيان گذاشت [۱۳]. در اين روش میدان جریان به وسیله‌ی يك حجم فضائي (در مکان) متوسط‌گيری می‌شود. ابعاد اين حجم متوسط‌گيری از قيود خاصی که تابع نوع و شرایط جریان و میدان است، تبعیت می‌کند؛ به گونه‌ای که باید دارای ابعادی به اندازه کافی بزرگ برای حذف کلیه ناهمگونی‌ها در مقیاس اندازه حفره‌ها، و از سوی دیگر دارای ابعادی کوچک برای حفظ مشخصه مورد نياز میدان جریان باشد. از آنجا که میدان جریان متوسط‌گیری شده حجمی در هر دو فاز جامد و مایع تعریف شده، قابلیت مدل‌سازی پیوستار و همزمان محیط دوفازه را دارا است. همان‌گونه که به وسیله‌ی وايتاکر [۱۴] نشان داده شده است، میدان جریان در اين روش، به وسیله‌ی معادلات ناويير استوکس متوسط‌گيری شده در حجم^۲ بيان و حل می‌شود. قانون دارسي و رابطه آن (معادله ۲) ساده شده

$$\nabla \cdot u \cdot n = \frac{\alpha}{\sqrt{K}} (u - U_d) \quad (1a)$$

$$u \times n = 0 \quad (1b)$$

n بردار نرمال عمود بر مرز بستر، α ضریب تجربی و K نفوذپذیری بستر است. U_d مطابق قانون معروف دارسي [۱۱] و از رابطه زير محاسبه می‌شود:

$$U_d = -\frac{K}{\mu} \nabla p \quad (2)$$

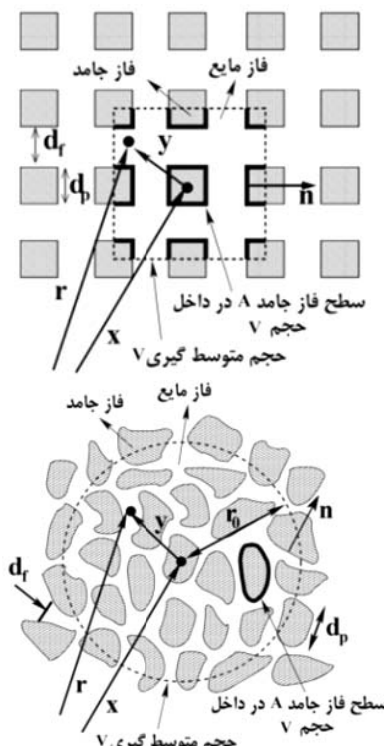
μ لزجت دیناميكی سیال و ∇p گرادیان فشار جریان است. سافمن [۱۲] در پژوهش خود نشان داد که می‌توان شرایط مرزی بیورز و جوزف را با فرض جریان استوکس نيز به دست آورده؛ به اين ترتيب شرایط مرزی را تنها می‌توان برای جریان آشفته‌ی نزدیک دیواره یعنی ناحیه زیرلایه لرج که عامل لزجت در آن غالب بوده و جریان استوکس برقرار است، به کار گرفت. همان‌گونه که هان و همکاران [۱۰] بيان کرده‌اند، شرایطی اين چنین تنها با فرض کوچک بودن \sqrt{K} در قیاس با v/u قابل به دست آوردن است. $(v/\mu) = \sqrt{t/p}$ لزجت سینماتیک، p چگالی سیال، t سرعت برشی و τ تنش برشی بستر است). نسبت اين دو مقیاس طول، نشانگر عددی است که عدد رینولدز نفوذپذیری (nam $Re_k = \sqrt{K} u / v$) نام گرفته و به لحاظ مفهومی برابر نسبت قطر مؤثر حفره‌های (\sqrt{K}) به مقیاس طول ویژه گردا به‌های آشفتگی مجاور بستر (v/u) است. در Re_k ‌های کوچک، گردا به‌های آشفتگی در مجاورت بستر کanal به وسیله‌ی Re_k بستر نفوذپذیر محدود شده و به دام انداخته می‌شوند^۳ و در پی آن زیرلایه لرج شکل می‌گيرد. در Re_k ‌های بزرگ گردا به‌های آشفتگی به درون مرز که بستری نفوذپذیر است وارد شده و مانع تشکیل زیرلایه لرج خواهند شد. در

۱- اصطلاحاً اين پدیده را "انسداد دیواره" یا wall blocking effect می‌نامند.

2- Volume Averaging Method
3- Volume Averaged Navier Stokes: VANS

x بردار مکان مرکز ثقل حجم متوسط‌گیر شده‌ی V ، $\bar{Y}=r-x$ بردار مکان نسبی، m تابع وزن و γ تابع نمایانگر فاز است؛ هنگامی که انتهای بردار r در فاز سیال قرار گیرد مقدار آن برابر با یک و هنگامیکه r در فاز جامد قرار گیرد مقدار آن برابر صفر است. پارامترهای اولیه روش متوسط‌گیری حجمی در شکل (۲) نشان داده شده‌اند. عمل متوسط‌گیری حجمی عملکردی شبیه به یک فیلتر دارد که تنها پارامترها و متغیرهای ساختار بزرگ مقیاس میدان جریان را از خود عبور می‌دهد (فیلتر می‌کند). میدان جریان فیلتر شده یا متوسط‌گیری شده‌ی حجمی، به لحاظ اینکه قابل تعریف در هر دو فاز مایع و جامد است، میدانی پیوسته است. برای معنادار بودن متوسط حجمی، تابع وزن باید شرط بی بعدسازی مطابق زیر را ارضاء کند:

$$\int_V m(y)dV = 1 \quad (4)$$



شکل (۲) روش متوسط‌گیری حجمی برای محیط متخلخل منظم و نامنظم

معادلات VANS برای جریان یکنواخت و دائمی در محیط متخلخل همگن است. روش شبیه سازی گردابه‌های بزرگ نیز ساده شده روش VANS است که با فرض تخلخل ۱ (حذف فاز جامد در معادلات) در معادلات حاکم VANS روابط LES حاصل خواهد شد [۱۵].

شبیه سازی پیوستار در ادبیات فنی دارای موارد کاربرد متعددی در مدل سازی جریان‌های هواشناسی مانند جریان هوا و آلودگی روی نبات، ابینه و جنگل‌ها، به عنوان محیط متخلخل است (شاو و شومن [۱۶]، دویر و همکاران [۱۷]، واتانابل [۱۸]).

در پژوهش حاضر، بستر نفوذپذیر آن است بدون تغییر که با دو مشخصه اصلی آن یعنی تخلخل و قطر میانگین ذرات جامد بیان می‌شود. به منظور ایجاد امکان تمایز بین تأثیر نفوذپذیری بستر از زیری آن، بهتر است مبنای کار بستری نفوذپذیر با تخلخل زیاد و مشکل از ذرات و دانه‌های جامد خیلی کوچک باشد [۲۰].

دو هدف اصلی پژوهش حاضر عبارتند از:
 ۱) توسعه فرمولاسیون ریاضی و عددی روش پیوستار و بیان شروط مرزی برای مدل سازی جریان آشفته در کanal نفوذپذیر،

۲) بررسی تأثیر نفوذپذیری بستر بر ویژگی‌های متوسط جریان آشفته (شکل، ساختار، سرعت و انرژی متوسط آشفتگی).

۳- فرمولاسیون پیوستار جریان در محیط متخلخل

گام نخست در به دست آوردن معادلات حاکم جریان متوسط‌گیری شده حجمی، معرفی متوسط حجمی ظاهري است که با نماد $\langle \dots \rangle$ و به صورت زیر تعریف می‌شود [۱۳]:

$$\langle u \rangle_x^s = \int_V \gamma(r)m(y)u(r)dV \quad (3)$$

$$\begin{aligned} f &= \frac{1}{\epsilon} \int_A mn \left[-\frac{p}{\rho} I + \nu \nabla u \right] dA \\ &= \frac{1}{\epsilon} \int_A mn \left[-\frac{\langle p \rangle}{\rho} I \right. \\ &\quad \left. + \nu \nabla \langle u \rangle \right] dA \quad (9b) \\ &\quad + \frac{1}{\epsilon} \int_A mn \left[-\frac{\tilde{p}}{\rho} I + \nu \nabla \tilde{u} \right] dA \end{aligned}$$

صرف نظر از تابع وزن استفاده شده، روابط VANS و (9a) و (9b) برای جریان‌های نیوتونی و تراکم ناپذیر در محیط‌های با ساختار تخلخل ثابت (عدم تغییر در زمان) معتبر و قابل اطمینان است.

می‌توان با فرض تغییرات اندک میدان جریان فیلتر شده در حجم متوسط‌گیری ($\langle u \rangle \approx \langle \tilde{u} \rangle$)، روابط تنش زیر مقیاس فیلتر و نیروی درگ را به صورت زیر ساده‌سازی کرد ([۲۲]):

$$\tau \approx \langle \tilde{u} \tilde{u} \rangle \quad (10a)$$

$$\begin{aligned} f &\approx \frac{1}{\epsilon} \int_A mn \left[-\frac{\tilde{p}}{\rho} I + \nu \nabla \tilde{u} \right] dA + \frac{1}{\epsilon} [\nabla \epsilon] \frac{\langle p \rangle}{\rho} \\ &\quad - \frac{1}{\epsilon} \nu \nabla \epsilon \cdot \nabla \langle u \rangle \quad (10b) \end{aligned}$$

محیط متخلف منظم را می‌توان از تکرار تناوبی یک سلول واحد در فضا تشکیل داد. برای این نوع از محیط متخلف، کوییتارد و وايتاکر حجم متوسط‌گیری مکعب-مستطیلی با تابع وزن مثلثی را پیشنهاد کرده‌اند:

$$m(y) = \begin{cases} \prod_{i=1}^3 (l_i - |y_i|) / l_i^2, & |y_i| \leq l_i \\ 0, & |y_i| \geq l_i \end{cases} \quad (11)$$

ا_i طول بردار پایه‌ی انتقال سلول واحد برای y_i است. در محیط متخلف، پراکنش تنش زیر مقیاس فیلتر در مقایسه با نیروی درگ و تنش برشی رینولدز میدان جریان متوسط‌گیری شده حجمی قابل چشم‌پوشی است. برای بسته سازی رابطه‌ی تنش از در معادلات VANS از پیشنهاد وايتاکر [۱۴] استفاده شده است:

گزینش این تابع به گونه‌ای است که میدان جریان فیلتر شده، تغییراتی قابل چشم‌پوشی در مقیاس‌های کوچکتر از ابعاد حجم متوسط‌گیری داشته باشد.

سرعت در یک نقطه از محیط متخلف مجموع دو مقدار سرعت میدان متوسط‌گیری شده حجمی در آن نقطه ($\langle u \rangle$) و سرعت زیر مقیاس فیلتر در آن نقطه (\tilde{u}) است:

$$u = \langle u \rangle + \tilde{u} \quad (5)$$

$\langle u \rangle = \langle u \rangle^s / \epsilon$ عمل متوسط‌گیری حجمی واقعی و ϵ تخلخل محیط است. تخلخل به صورت زیر تعریف می‌شود:

$$\epsilon(x) = \int_V \gamma(r) m(y) dV \quad (6)$$

رابطه (5) مشابه ترکیب مولفه‌های سرعت در معادلات متوسط‌گیری زمانی است که در آن دو جزء سرعت متوسط‌گیری شده رینولدز (یا متوسط زمانی) و سرعت نوسانی با یکدیگر ترکیب شده و سرعت کل میدان در هر نقطه را تشکیل می‌دهند [۲۱]:

$$u = \bar{u} + u' \quad (7)$$

معادلات ناویر-استوکس متوسط‌گیری شده حجمی ($VANS$) در فرم اولیه خود به صورت زیر خواهد بود [۱۳]:

$$\begin{aligned} \frac{\partial \langle u \rangle}{\partial t} + \frac{1}{\epsilon} \nabla \cdot [\epsilon \langle u \rangle \langle u \rangle] + \frac{1}{\epsilon} \nabla \cdot [\epsilon \tau] &= -\frac{1}{\epsilon \rho} \nabla [\epsilon \langle p \rangle] + \frac{\nu}{\epsilon} \nabla^2 [\epsilon \langle u \rangle] + f \quad (\text{۸a}) \\ \nabla \cdot [\epsilon \langle u \rangle] &= 0 \quad (\text{۸b}) \end{aligned}$$

تنش زیر مقیاس فیلتر است. f نیروی درگ واحد جرم است که فاز جامد بر فاز مایع وارد می‌کند. روابط ارائه شده برای τ و f عبارتند از:

$$\begin{aligned} \tau &= \langle uu \rangle - \langle u \rangle \langle u \rangle \\ &= \langle \langle u \rangle \langle u \rangle \rangle - \langle u \rangle \langle u \rangle \\ &\quad + \langle \tilde{u} \langle u \rangle \rangle + \langle \tilde{u} \tilde{u} \rangle \end{aligned} \quad (9a)$$

نفوذپذیری و تانسور فورچهیمر برای هندسه‌های گوناگون به وسیله‌ی زیک و هامسی [۲۳]، راث [۳۱] و فاند [۳۲] ثابت است و بررسی سایر منابع، رابطه‌ی ارگان [۳۳] که ترکیب رابطه (۱۲) با روابط زیر برای تانسور نفوذپذیری و تانسور فورچهیمر است استفاده شده است:

$$K = \frac{d_p^2 \epsilon^3}{180(1-\epsilon)^2} I \quad (13a)$$

$$F = \tilde{F} |\langle u \rangle| I, \tilde{F} = \frac{\epsilon}{100(1-\epsilon)} \frac{d_p}{v} \quad (13b)$$

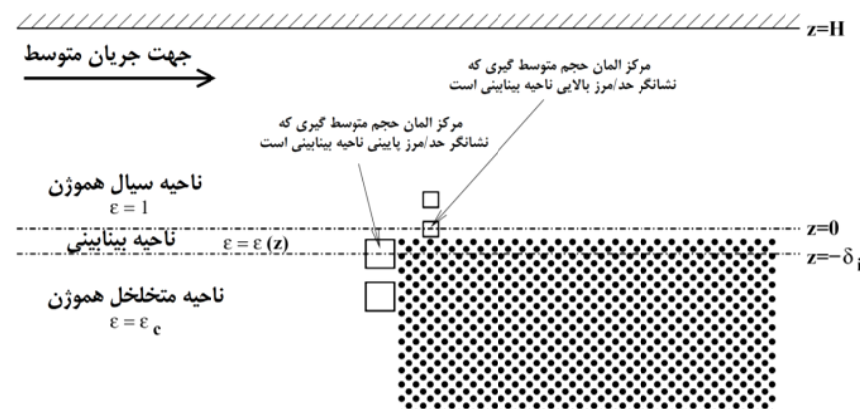
$d_p = 6V_p/A_p$ قطر متوسط ذره ای به حجم V_p و سطح تماس A_p است.

۴- هندسه‌ی جریان و مدل نیروی درگ در ناحیه بینابینی

هندسه‌ی جریان مطابق شکل (۳) در نظر گرفته شده است. مرز بالایی میدان، دیواره‌ای نفوذناپذیر (جریان بدون سطح آزاد) خواهد بود؛ مرز مشترک دو محیط (بستر جریان) به صورت دیواره‌ای نفوذپذیر با تخلخل، شکل و ساختار ثابت مدل می‌شود؛ مرز انتهایی میدان در منتهی‌الیه پایینی محیط متخلخل، به وسیله‌ی دیواره‌ای نفوذناپذیر مدل می‌شود. شکل (۳):

$$\frac{1}{\epsilon} \int_A mn \left[-\frac{\tilde{p}}{\rho} I + v \nabla \tilde{u} \right] dA = -v K^{-1} \epsilon \langle u \rangle - v K^{-1} F \epsilon \langle u \rangle \quad (12)$$

K و F به ترتیب تانسورهای نفوذپذیری و فورچهیمر است. عبارت اول در سمت راست رابطه (۱۲)، نیروی درگ در صورت وجود جریان استوکس در حفره‌ها بوده و عبارت دوم تصحیح آثار اینرسی در اعداد رینولد بزرگ است. تانسور نفوذپذیری به هندسه محیط متخلخل وابسته است. تانسور فورچهیمر به عدد رینولد جریان $(d_f/v) |\langle u \rangle|$ (قطر حفره‌ها)، پارامترهای هندسی محیط متخلخل و به زاویه قرارگیری ذرات جامد محیط نسبت به راه جریان متوسط‌گیری شده بستگی دارد. به دلیل ارتباط تنگاتنگی که این دو تانسور با هندسه محیط متخلخل و عدد رینولدز جریان دارند، رابطه‌های عمومی برای آنها قابل تعریف نیست. مطمئن‌ترین روش برای آگاهی از مقادیر آنها، انجام آزمایش‌های فیزیکی یا مدل‌سازی‌های عددی، خاص نوع و شرایط جریان تحت بررسی است. در سال‌های اخیر برای بازه وسیعی از شرایط جریان و محیط‌های متخلخل، آزمایش‌هایی توسط زیک و هامسی [۲۳]، لارسن و هیگدن [۲۴] و [۲۵]، کاوینی و سهروردی [۲۶]، لی و یانگ [۲۷]، مک دونالد و همکاران [۲۸]، لیگ [۲۹]، بروگم و همکاران [۳۰] انجام شده است. محاسبه‌ی عددی تانسور



شکل (۳) نمایی از هندسه‌ی میدان جریان

همگن استفاده شود برآورده نخواهد شد. یکی از اهداف اولیه پژوهش حاضر، شناخت کامل جریان در ناحیه کanal بوده و بر این اساس ابعاد/فواصل سلولهای محاسباتی (Δ) در شبکه محاسباتی جریان کوچک خواهند بود. پس اگر انتخاب طول فیلتر در این ناحیه تابع قید کوچکتر یا مساوی بودن از/با ابعاد سلولهای شبکه باشد، با دقت خوبی می‌توان فرض کرد که پراکنش زیرمقیاس فیلتر در این ناحیه قابل چشمپوشی بوده و نیازی به تعریف جملات جدید در معادلات تخفیف یافته‌ی جریان reduced-VANS) نیست.

$$\frac{\partial \langle u \rangle}{\partial t} + \nabla \cdot \langle u \rangle \langle u \rangle = -\frac{1}{\rho} \nabla \langle p \rangle + \nu \nabla^2 \langle u \rangle - \nu K^{-1} \epsilon \langle u \rangle \quad (14b)$$

۴-۳- ناحیه مرزی، بینایینی

در این ناحیه ذرات جامد حضور دارند با این تفاوت که تخلخل مقدار ثابتی نداشته و در طول ناحیه از ۱ تا مقدار ثابت ϵ متغیر است. در این ناحیه نیز (به تقریب) پراکنش زیر مقیاس فیلتر قابل اغماض بوده و عامل حاکم، نیروی درگ است. نیروی درگ با معادله $\dot{E}_r = \rho \dot{V}_r \epsilon$ و بهره گیری از مدل تخلخل متغیر مدل سازی می‌شود. ایده یاد شده (استفاده از تخلخل متغیر جهت حفظ پیوستاری مدل) پیش‌تر به وسیله‌ی وايتاکر و اچاتاپیا ([۴] و [۴۲]) در مدل‌سازی جریان لایه‌ای روی بستر نفوذپذیر به کار گرفته شده است.

مطابق شکل (۳)، مرز بالایی ناحیه بینایینی ($z = 0$) مرکز حجم متوسط‌گیری است که وجه پایینی آن مماس بر سطح بالاترین ردیف ذرات جامد محیط تخلخل است. در این فاصله بسیار کوچک $\epsilon = 1$ است. به تدریج که حجم متوسط‌گیری به سمت دیواره نفوذپذیر حرکت می‌کند، مقدار تخلخل کاهش پیدا می‌کند تا به مقدار حدی و ثابت

۱. ناحیه سیال همگن (منطقه جریان کanal) در فاصله‌ی بین $0 < z = H$ و $z = 0$ قرار می‌گیرد و تخلخل در آن برابر یک است،

۲. ناحیه مشترک مرزی (منطقه بینایینی) که در تراز بین $-\delta_i < z = 0$ و $z = 0$ قرار گرفته و تخلخلی متغیر دارد،

۳. ناحیه‌ی متخلخل همگن که در فاصله‌ی ای بین $z = -h < z = -\delta_i$ قرار داشته و تخلخل در آن ثابت است.

۴-۱- ناحیه متخلخل همگن

از ترکیب معادلات (۸a)، (۱۰b) و (۱۲) معادله اولیه انتقال جریان در ناحیه متخلخل همگن به صورت زیر به دست خواهد آمد:

$$\frac{\partial \langle u \rangle}{\partial t} + \nabla \cdot \langle u \rangle \langle u \rangle = -\frac{1}{\rho} \nabla \langle p \rangle + \nu \nabla^2 \langle u \rangle - \nu K^{-1} \epsilon \langle u \rangle - \nu K^{-1} F \epsilon \langle u \rangle \quad (14a)$$

مقادیر K و F پیش‌تر در روابط (۱۳a) و (۱۳b) معرفی شده‌اند.

۴-۲- ناحیه‌ی سیال همگن یا جریان کanal

در این ناحیه ذرات جامد وجود نداشته ($\epsilon = 0$) و وجود نیروی درگ منتفی است ($K = 1$)؛ بنابراین معادلات حاکم VANS به معادلات LES کاهش پیدا می‌کند. در این ناحیه، عبارت پراکنش زیر مقیاس فیلتر که در بخش قبل (در مقایسه با نیروی درگ) از آن چشمپوشی شده بود، باید در معادلات جای گیرد. بدین ترتیب در معادله (۸) جمله حاوی نیروی درگ (f) و جمله حاوی تنش زیر مقیاس فیلتر (τ) حفظ می‌شود. اما در این ناحیه باز هم می‌توان به شرط کوچک بودن طول فیلتر از عبارت تنش زیر مقیاس فیلتر چشمپوشی کرد. این فرض، هنگامی که طول فیلتر یکسانی برای ناحیه‌ی کanal و ناحیه‌ی متخلخل

۵- مشخصات میدان جریان در مرزها

مشخصات دیواه نفوذپذیر در قالب سه مقیاس طولی مختلف این گونه است: ضخامت دیواره (h)، قطر متوسط ذرات (d_p) و جذر نفوذپذیری ($\epsilon_c = \sqrt{K_c} = \sqrt{K(\epsilon_c)} = \sqrt{\epsilon_c}$) که معیاری فرضی است. برای بیان قطر مؤثر خلل و فرج میدان ضخامت ناحیه بینایینی (δ_i) به طول فیلتر و به تبع آن به d_p بستگی دارد و نمی‌توان آن را مقیاس طولی مستقلی دانست. ضخامت لایه نفوذپذیر (h) برای اطمینان از عدم تأثیر بستر نفوذناپذیر (در تراز $-h = z$) بر جریان کanal، بسیار بزرگتر از عمق نفوذ آشتفتگی در بستر نفوذپذیر فرض می‌شود. با وجود این فرض، ضخامت h نیز به اندازه ای نخواهد بود که بتوان از آن به عنوان مقیاسی مناسب و جداگانه نام برد.

دیواره نفوذپذیر زیر هم هست. به عنوان ساده‌ترین روش، مقدار تأثیر اضافی زبری سطح را می‌توان با مقایسه جریانی مشابه، یکبار روی بستری نفوذپذیر و زیر و بار دیگر روی بستری نفوذناپذیر و با همان درجه زبری اندازه‌گیری کرد. تفاوت ظاهری این دو نوع بستر در شکل (۱) نشان داده شده است. زبری دیواره را با ارتفاع المان های زبری می‌سنجند؛ به تبعیت از این روند در این پژوهش، ذرات جامد به عنوان المان‌های زبری و قطر آنها (d_p)، ارتفاع زبری در نظر گرفته شده است. تأثیر زبری با عدد رینولدز زبری بیان می‌شود:

$$Re_a = \frac{d_p u_\tau}{v} \quad (17)$$

هینز براساس آزمایش‌های نیکورادزه، بستر $Re_d > 55$ را دیواره کاملاً زبر دانسته است. در این گونه بستر، زیرلایه لزج نمی‌تواند روی المان‌های زبری شکل گیرد. بر اساس تقسیم‌بندی وی، تأثیر زبری بستر در محدوده $5 < Re_d < 10$ قابل گذشت است. اگرچه این تقسیم بندی برپایه آزمایش‌های

خود ($\epsilon_c = \epsilon$) در تراز $z = -\delta_i$ بررسد. در محیط متخلخل، مقادیر متخلخل در ترازهای مختلف از معادله (۶) به دست می‌آید؛ اما در واقعیت و حتی برای ساده‌ترین ساختارهای تعريف شده برای یک محیط متخلخل (مانند شکل (۳)) انجام این محاسبات، ساده و مقرن به صرفه نیست. متخلخل متغیر تابعی است با مقدار یک در مرز بالای ناحیه $z = 0$ ، $\epsilon_c = \epsilon$ و مقدار ثابت در مرز پایینی آن ($z = -\delta_i$)، از طرفی مبنای روش پیوسنستار، پیوسنستگی معادلات حاکم VANS در مرزهای این ناحیه با ناحیه سیال هموزن و متخلخل هموزن است. بدین ترتیب اراضی قیود دیگری برای تابع متخلخل ضروری است که پیوسته بودن مشتقات اول و دوم آن تابع از آن جمله اند. توزیعی که در نهایت (بعد از آزمون گرینه های متعدد موجود) به عنوان بهترین گرینه در اینجا مورد استفاده قرار گرفته و هر ۶ شرط مذکور را برآورده می‌سازد، چندجمله ای مرتبه ۵ به صورت زیر است:

$$\begin{aligned} \epsilon(z) = & -6(\epsilon_c - 1) \left(\frac{z}{\delta_i} \right)^5 - 15(\epsilon_c - 1) \left(\frac{z}{\delta_i} \right)^4 \\ & - 10(\epsilon_c - 1) \left(\frac{z}{\delta_i} \right)^3 \\ & + 1, \quad -\delta_i \leq z \leq 0 \end{aligned} \quad (15)$$

در این رابطه، ضخامت لایه بینایینی از مرتبه طول فیلتر است. از ترکیب معادلات (۸a)، (۱۰b) و (۱۲) معادله انتقال حاکم در ناحیه بینایینی به صورت زیر خواهد بود:

$$\begin{aligned} \frac{\partial \langle u \rangle}{\partial t} + \frac{1}{\epsilon} \nabla \cdot [\epsilon \langle u \rangle \langle u \rangle] &= -\frac{1}{\rho} \nabla \cdot p + v \nabla^2 \langle u \rangle \\ &- \frac{v}{\epsilon} \nabla \epsilon \cdot \nabla \langle u \rangle + \frac{v}{\epsilon} [\nabla^2 \epsilon] \langle u \rangle \\ &- v K^{-1} [I + F] \epsilon \langle u \rangle \end{aligned} \quad (16)$$

مقادیر تانسورهای نفوذپذیری، فورچهیمیر و تابع متخلخل از روابط (۱۳) و (۱۴) قابل محاسبه است.

$$\begin{aligned} \frac{\tau_{xz}}{\rho} &= -\bar{u}'\bar{w}' + \nu \frac{\partial \bar{u}}{\partial z} \\ &= -[(u_\tau^p)^2 + (u_\tau^t)^2] \frac{z}{H} \\ &\quad + (u_\tau^p)^2, \quad 0 \leq z \leq H \end{aligned} \quad (19)$$

$u_\tau^p = \sqrt{\tau_{xz}(0)/\rho}$ سرعت بشی در محل بستر نفوذپذیر و $u_\tau^t = \sqrt{-\tau_{xz}(H)/\rho}$ سرعت بشی در محل دیواره بالایی است. با $\delta_w = 0$ محل $\tau_{xz}(\delta_w) = 0$ به صورت زیر خواهد بود:

$$\frac{\delta_w}{H} = \frac{(u_\tau^p)^2}{(u_\tau^p)^2 + (u_\tau^t)^2} \quad (20)$$

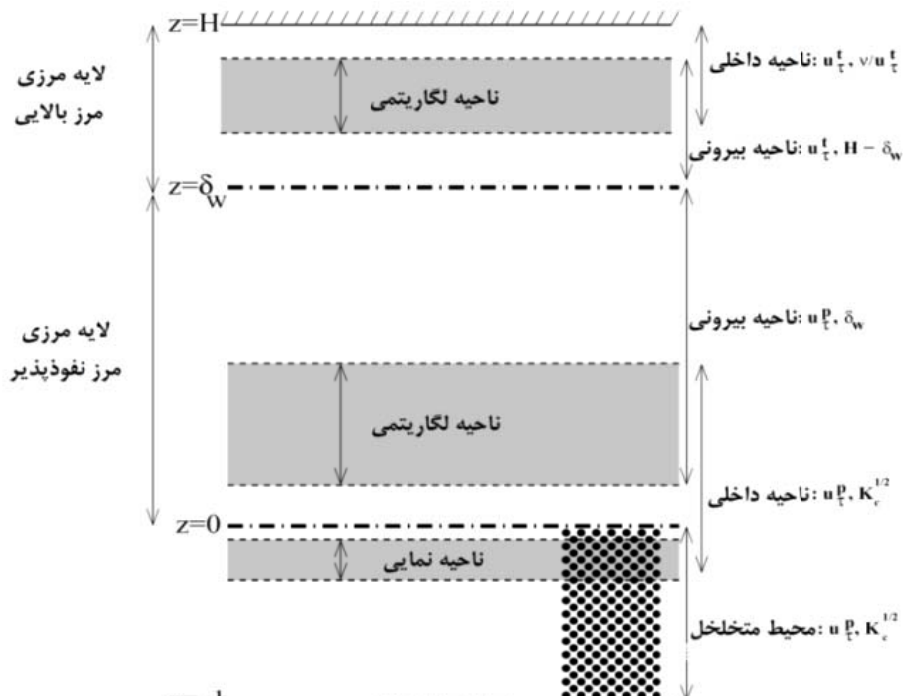
در لایه مرزی روی مرز صلب بالا، یک ناحیه درونی و یک ناحیه بیرونی قابل تفکیک است. سرعت اصطکاکی (u_τ^t) به عنوان سرعت مشخصه در هر دو ناحیه قابل استفاده است. برای ناحیه درونی و ضخامت لایه مرزی ($H - \delta_w$) برای ناحیه بیرونی به عنوان مقیاس طولی آشتفتگی در نظر گرفته می‌شوند.

با دیواره‌های زیر اما نفوذنپذیر انجام گرفته، اما می‌تواند با تقریب خوبی برای بستر زیر و نفوذپذیر به کار رود. مشابه رابطه (۱۷)، عدد رینولدز نفوذپذیری به عنوان شاخص نفوذپذیری دیواره به صورت زیر تعریف می‌شود:

$$Re_K = \frac{\sqrt{K_c} u_\tau}{\nu} \quad (18)$$

با استفاده از این دو شاخص (روابط رینولدز ۱۷ و ۱۸) و تغییر در مقادیر H و δ_w می‌توان محدوده وسیعی از بسترهای (به لحاظ زبری و نفوذپذیری) را پوشش داد.

در شکل (۴) میدان جریان مطالعه شده است. در ناحیه جریان کanal دو لایه مرزی تشکیل شده‌اند: یکی در کنار بستر نفوذپذیر و دیگری در کنار مرز بالایی. فضای بین دو لایه مرزی محل وقوع بیشینه سرعت متوسط یا وقوع تنش بشی صفر ($\tau_{xz} = 0$) در $z = \delta_w$ است. از انگرال‌گیری معادله مومنتوم متوسط‌گیری شده رینولدز، رابطه‌ی تنش بشی کل به دست می‌آید:



شکل (۴) نواحی مختلف جریان آشتفته در مدل پیوستار کanal مسطح

انتگرال گیری از تساوی نخست معادله (۲۳)، قانون لگاریتمی مورد نظر را نتیجه خواهد داد:

$$\frac{\bar{u}}{u_t^p} = \frac{1}{\lambda} \ln \left(\frac{z+d}{z_0} \right) \quad (24)$$

z_0 متناسب با $\sqrt{K_c}$ است. بر اساس تساوی سمت راست معادله (۲۳) و عدم وابستگی توزیع ناحیه نقصان سرعت به $\sqrt{K_c}$ ، مقدار λ برابر با κ است. ضخامت جایه‌جایی (d) به عدد رینولدز نفوذپذیری ($\sqrt{K_c} u_t^p / v$) بستگی دارد. هنگامی که $0 \rightarrow \sqrt{K_c} u_t^p / v$ (بستر صاف و نفوذناپذیر)، $d = 0$ بوده و هنگامی که $\infty \rightarrow \sqrt{K_c} u_t^p / v$ (بستر کاملاً نفوذپذیر)، $d = h$ می‌باشد. در این حالت آشفتگی تا انتهای ناحیه متخلخل می‌باشد. در ناحیه متخلخل همگن معادلات متوسط گیری شده رینولدز VANS در فرم ساده شده عبارتند از (دوبراکاو، [۱۹]):

$$-\frac{1}{\rho} \frac{dp}{dx} - \frac{\partial \bar{u}' w'}{\partial z} + v \frac{\partial^2 \bar{u}}{\partial z^2} - \frac{v \epsilon_c}{K_c} \bar{u} - \frac{v \epsilon_c \tilde{F}_c}{K_c} |u| \bar{u} = 0 \quad (25a)$$

$$-\frac{1}{\rho} \frac{dp}{dz} - \frac{\partial \bar{w}' w'}{\partial z} - \frac{v \epsilon_c \tilde{F}_c}{K_c} |u| \bar{w} = 0 \quad (25b)$$

اندیس c نشانه تخلخل ثابت است؛ $\tilde{F}_c = \tilde{F}(\epsilon = \epsilon_c)$ در معادله (۲۵b) تعریف شده است.

در Re_K کوچک، معادلات (۲۵a) و (۲۵b) به معادله برینکمن ساده می‌شوند:

$$-\frac{1}{\rho} \frac{dp}{dx} + v \frac{\partial^2 \bar{u}}{\partial z^2} - \frac{v \epsilon_c}{K_c} \bar{u} = 0 \quad (26a)$$

$$-\frac{1}{\rho} \frac{dp}{dz} = 0 \quad (26b)$$

حل این دو معادله، تابعی نمایی-کاهشی است که ارتباط دهنده سرعت U_i (در $i = -\delta_i$) به سرعت دارسی U_d درون

بستر است:

$$\bar{u} = U_d + (U_i - U_d) \exp \left[z \sqrt{\frac{\epsilon_c}{K_c}} \right], \quad z \leq -\delta_i \quad (27a)$$

نواحی درونی و بیرونی قدری هم پوشانی دارند. در این فاصله، که از یک سو به منطقه تابع قانون بستر و از سویی به منطقه تابع قانون نقصان سرعت محدود می‌شود، قانون لگاریتمی حاکم خواهد بود.

مشابه این شرایط در لایه مرزی مجاور مرز نفوذپذیر نیز وجود دارد. سرعت اصطکاکی (u_t^p) به عنوان سرعت مشخصه‌ی یکسان در هر دو ناحیه‌ی درونی و بیرونی قابل استفاده است. با فرض $1 \gg Re_K$ تاثیر لزجت ناجیز است. مقیاس‌های طولی آشفتگی برای نواحی بیرونی و درونی به ترتیب δ_w و $\sqrt{K_c}$ است.

با قبول جذر نفوذپذیری ($\sqrt{K_c}$) به عنوان مقیاس طولی آشفتگی در ناحیه درونی، فرمولاسیون قانون بستر در نزدیک Re_K بستر نفوذپذیر (۱) $\gg Re_K$ بصورت زیر تغییر می‌کند:

$$\frac{\bar{u}}{u_t^p} = p \left(\frac{z+d}{\sqrt{K_c}} \right) \quad (21)$$

p تابع بدون بعد و d ضخامت جایه‌جایی لایه مرزی است. انتخاب ضخامت لایه مرزی δ_w به عنوان مقیاس طولی آشفتگی در ناحیه بیرونی، منجر به تغییر فرمولاسیون محدوده تابع قانون نقصان سرعت به صورت زیر می‌شود (تابع بدون بعد):

$$\frac{U_m - \bar{u}}{u_t^p} = q \left(\frac{z+d}{\delta_w} \right) \quad (22)$$

مانند مرز بالا، نواحی درونی و بیرونی لایه مرزی بستر نیز با یکدیگر هم‌پوشانی دارند. به شرط آنکه $1 \gg \delta_w / \sqrt{K_c}$ باشد، از برازش و تطبیق امتداد خطوط مجانب منحنی‌های توزیع سرعت در این دو محدوده، می‌توان توزیع سرعت لگاریتمی مناسبی برای ناحیه هم‌پوشانی به صورت زیر به دست آورد:

$$\begin{aligned} & \lim_{\left(\frac{z+d}{\sqrt{K_c}} \right) \rightarrow \infty} \left[\left(\frac{z+d}{\sqrt{K_c}} \right) p' \left(\frac{z+d}{\sqrt{K_c}} \right) \right] = \frac{1}{\lambda} \\ & = \lim_{\left(\frac{z+d}{\delta_w} \right) \rightarrow 0} \left[- \left(\frac{z+d}{\delta_w} \right) q' \left(\frac{z+d}{\delta_w} \right) \right] \end{aligned} \quad (23)$$

سرعت u با u_t^p مقیاس شده است. عامل مقیاس $\sqrt{K_c/\epsilon_c}$ در معادله (۲۸a) است، زیرا نیروی درگ دارسی با نیروی درگ فورچهیر جایگزین شده است.

۶- روش شبیه‌سازی عددی

شکل کلی معادلات VANS برای ناحیه متخلخل هموزن، ناحیه

بینایینی و ناحیه سیال هموزن به صورت زیر خلاصه می‌شوند:

$$\frac{\partial u}{\partial t} = -\frac{1}{\epsilon} \nabla \cdot [\epsilon u u] - \nabla p + \frac{1}{Re_b} \nabla^2 u + \frac{1}{\epsilon Re_b} \nabla \cdot \nabla u - \frac{1}{Re_b Da} \epsilon |u| u + \frac{1}{Re_b} \left[\frac{\nabla^2 \epsilon}{\epsilon} - \frac{\epsilon}{Da} \right] u \quad (30a)$$

$$\nabla \cdot [\epsilon u] = 0 \quad (30b)$$

عدد رینولدز جریان و U_b سرعت جریان در کanal است (در فاصله $z=0$ و $z=H$). $Da = K / H^2$ عدد دارسی و $Fo = \tilde{F} U_b$ عدد فورچهیر است. تخلخل (ϵ) در منطقه سیال هموزن برابر یک، در ناحیه بینایینی با معادله (۱۵) و در ناحیه متخلخل هموزن برابر مقدار ثابت (ϵ_c) و تانسورهای نفوذپذیری و فورچهیر به ترتیب با معادلات (۱۳a) و (۱۳b) قابل جایگزینی است. شرایط مرزی سرعت در $z=-h$ و $z=H$ شروط عدم لغزش و نفوذناپذیری است. حل معادلات (۳۰a) و (۳۰b)، در کanalی متناهی صورت می‌پذیرد. معادلات در فضای 3D و در شبکه محاسباتی کارتزین غیر یکنواخت و متناوب در جهت z گستته سازی شده‌اند. تمامی گره‌های شبکه مابین ترازهای $z=0$ (بستر نفوذپذیر) و $z=H$ (مرز بالایی) قرار گرفته‌اند. فاکتور کشش شبکه، یعنی اختلاف عرض سلول‌های محاسباتی مجاور همواره کمتر از $3/3\%$ است. مقدار این ضریب در $z=-h$ و $z=H/2$ بیشینه بوده و به تدریج در نزدیکی $z=0$ و

$$U_d = -\frac{1}{\mu \epsilon_c} \frac{d \bar{p}}{dx} \quad (27b)$$

δ ضخامت ناحیه بینایینی است (شکل ۳). معادله (۲۶a) نشانگر تعادل بین پخشیدگی لزج مومتوом به دیواره نفوذپذیر و نیروی درگ دارسی است. برای مقادیر Re_K بزرگ، پخش به واسطه آشفتگی و نیروی درگ فورچهیر حاکم خواهند بود. تحت این شرایط، ارائه حل تحلیلی و پروفیل توزیع سرعت آن از طریق حل رابطه (۲۶a) بسیار مشکل است. در مواردی روش پیوستار (جریان اتمسفر روی پوشش گیاهی به عنوان محیط متخلخل) سرعت متوسط با یک تابع نمایی بیان شده که برای سایر کاربردها از جمله جریان کanal، نقطه خوبی برای ادامه کار است:

$$\bar{u} = U_d + (U_i - U_d) \exp \left[\alpha z \sqrt{\frac{\epsilon_c}{K_c}} \right], z \leq -\delta_i \quad (28a)$$

یک ضریب تجربی (و منشا خطأ و تقریب در این رابطه) است. سرعت U_d از موازنه گرادیان فشار و دو نوع درگ در معادله (۲۵a) حاصل می‌شود:

$$U_d = \frac{\left(1 - \frac{4}{\mu} \frac{\epsilon_c}{K_c} \frac{d \bar{p}}{dx} \tilde{F}_c \right)^{1/2} - 1}{2 \tilde{F}_c} \quad (28b)$$

در محدوده اعداد Re_K کوچک و به ازای $\alpha = 1$ معادله (۲۸a) به (۲۷a) ساده می‌شود. در مقادیر بسیار بزرگ Re_K پخشیدگی مومتووم به واسطه آشفتگی فقط با نیروی درگ فورچهیر متعادل می‌شود. در این حالت مقدار α از موازنه زیر قابل تخمین است:

$$\frac{\left[-\frac{\partial u' w'}{\partial z} \right]}{\left[-\frac{v \epsilon_c \tilde{F}_c}{K_c} |u| u \right]} \sim \frac{\left[\alpha \sqrt{\frac{\epsilon_c}{K_c}} (u_t^p)^2 \right]}{\left[v \sqrt{\frac{\epsilon_c}{K_c}} \tilde{F}_c (u_t^p)^2 \right]} \sim 1 \Rightarrow \alpha \sim v \sqrt{\frac{\epsilon_c}{K_c}} \tilde{F}_c \quad (29)$$

برای روش آدامز- بشفورث برای حفظ پایداری عددی، محاسبه شده است.

جدول (۱) شامل مشخصات اصلی شبیه سازی های انجام شده است که در آن $K_c = K(\epsilon = \epsilon_c)$ $Da_c = K_c/H^2$ و $Re_t^t = U_b t / H$ و $\Delta x^{t+} = \Delta x^{t+} \cdot Re_t^t$. $Fo_c = F(\epsilon = \epsilon_c)$ و $U_b = \tilde{F}_c = \tilde{F}(\epsilon = \epsilon_c)$ و $\Delta y^{t+} = \Delta y^{t+}$ فواصل شبکه در جهت جریان و جهت عمود بر صفحه آن می باشند و به وسیله $\frac{\Delta y}{H}$ بی بعد شده اند. $\Delta z_p^{t+} = \Delta z_c^{t+}$ و Δz_c^{t+} فواصل بی بعد شبکه در جهت عمود بر بستر به ترتیب در کanal و محیط متخلخل و Δt^{t+} گام زمانی که با $(\Delta t)^2 / H$ بی بعد شده است. ΔT_b فاصله زمانی است که در آن بازه، داده ها در غالب واحد H/U_b به دست آمده اند و

N تعداد میدان های داده ای لحظه ای است.

شرایط و فرضیه ای عددی و هندسی میدان حل عبارتند از:

۱- قطر متوسط ذرات $d_p/H = 0.01$ است،

۲- ضخامت ناحیه بینابینی $2 \delta_i/d_p = 2$ است.

۳- ضخامت ناحیه متخلخل نفوذپذیر برابر $1/h = 1/H$ است،

۴- ابعاد افقی میدان $L_x/H = 5$ و $L_y/H = 3$ است،

۵- تعداد نقاط شبکه در جهت جریان (x)، عمود بر صفحه جریان (y) و عمود بر بستر (z)، $256, 192$ و $(128+192)$ است.

۶- عدد رینولد جریان برابر با $Re_b = 5500$ و ثابت است.

شرایط اولیه جریان برای شبیه سازی، میدان سرعت تصادفی با پروفیل توزیع سرعت متوسط معلوم است.

۷- مشاهده و نتایج

شکل (۵) توزیع سرعت متوسط میدان را به ازای مقادیر مختلف تخلخل بستر (ϵ) نشان می دهد. مشخصات جریان های شبیه سازی شده در جدول (۲) آمده اند. در این جدول، اندیس های p و t برای فرق مشخصات میدان جریان لایه مرزی در بستر نفوذپذیر و مرز صلب بالا به کار رفته اند.

$z = H$ کوچک می شود. برای گستته سازی مشتقات مکانی و موازی با بستر جریان، روش شبکه طیفی^۱ و برای مشتقات عمود بر مرزها، روش حجم محدود (با طرح تفاضل مرکزی)^۲ به کار رفته است. پیش روی حل معادلات در گام های زمانی به روش اصلاح فشار^۳ انجام شده است. تمامی جملات سمت راست معادله (۱۳a) به جز جمله آخر، به روش صریح مرتبه دوم آدام- بشفورث انتگرال گیری زمانی شده و برای جمله آخر، از روش ضمنی درجه دو کرانک- نیکلسون استفاده شده است. بدین ترتیب از بروز گام های زمانی کوچک در نفوذپذیری های کم جلوگیری خواهد شد. بدین ترتیب:

$$\hat{u}_i - u_i^n = \frac{3}{2} R_i^n - \frac{1}{2} R_i^{n-1} - \frac{dP}{dx} \delta_{i1} + \frac{1}{2} S_i (\hat{u}_i + u_i^n) \quad (31a)$$

$$\frac{\partial}{\partial x_i} \left(\epsilon \frac{\partial \hat{p}}{\partial x_i} \right) = \frac{1}{\Delta t} \frac{\partial \epsilon \hat{u}_i}{\partial x_i} \quad (31b)$$

$$u_i^{n+1} = u_i^n - \Delta t \frac{\partial \hat{p}}{\partial x_i} \quad (31c)$$

$$p^{n+1} = \hat{p} + 2p^n - p^{n-1} \quad (31d)$$

\hat{u}_i و \hat{p} به ترتیب سرعت پیش بینی شده و اصلاح فشار هستند؛ dP/dx گرادیان فشار متوسط و عامل برقراری جریان است؛ R_i و S_i به شکل زیر تعریف می شوند:

$$R_i = -\frac{1}{\epsilon} \frac{\partial \epsilon u_i u_j}{\partial x_j} - \frac{\partial p}{\partial x_i} + \frac{1}{Re_b} \frac{\partial^2 u_i}{\partial x_j^2} + \frac{1}{\epsilon Re_b} \frac{\partial \epsilon}{\partial x_j} \frac{\partial u_i}{\partial x_j} - \frac{1}{Re_b Da} \epsilon |u| u_i \quad (32a)$$

$$S_i = \frac{1}{Re_b} \left(\frac{1}{\epsilon} \frac{\partial^2 \epsilon}{\partial x_j^2} - \frac{\epsilon}{Da} \right) \quad (32b)$$

در روش کرانک- نیکلسون، سرعت در گام زمانی $n+1$ ام با استفاده از سرعت پیش بینی شده تخمین زده می شود، اما با این وجود، روش اصلاح فشار از دقت درجه دو برخوردار است. مقدار گام زمانی Δt با لحاظ داشتن قیود و سلینگ

1- Pseudo-spectral method

2- Finite volume method with central differencing scheme

3- Pressure correction method

جدول (۱) مشخصات اصلی شبیه سازی های ۴ گانه‌ی انجام شد

Simulation	ϵ_c	$D\alpha_c$	Fo_c	Re_t^t	Δx^{t+}	Δy^{t+}	Δz_t^{t+}	Δz_p^{t+}	Δt^{t+}	ΔT_b	N
a	0.95	1.9×10^{-4}	10.5	407	7.9	6.4	0.5 - 5.3	0.5 - 8.5	0.014	53	60
b	0.80	7.1×10^{-6}	2.2	354	6.9	5.5	0.4 - 4.6	0.4 - 7.4	0.015	65	100
c	0.60	7.5×10^{-7}	0.83	350	6.8	5.5	0.4 - 4.6	0.4 - 7.3	0.017	66	86
d	0.00	0	0	350	6.8	5.5	0.4 - 4.6	--	0.017	89	58

جدول (۲) مشخصات تکمیلی جریان‌های بررسی‌شده

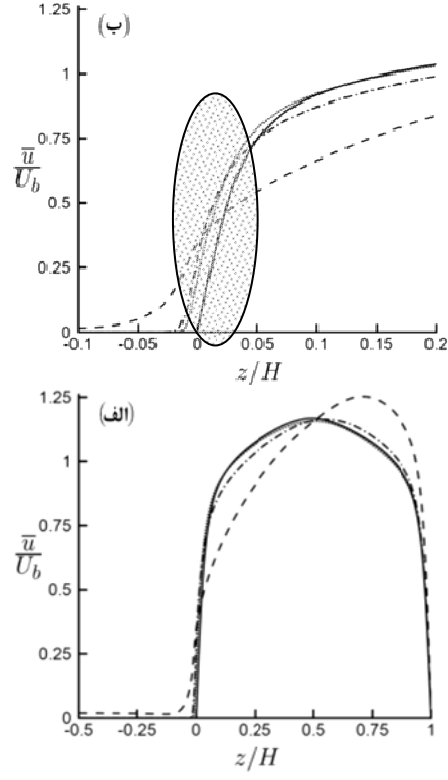
simulation	ϵ_c	Re_τ^p	Re_k	Re_d	δ_w/H	Re_δ^p	Re_δ^t	C_f^t	C_f^p
a	0.95	678	9.35	6.78	0.74	498	108	10.9×10^{-3}	30.4×10^{-3}
b	0.80	398	1.06	3.98	0.56	222	156	8.3×10^{-3}	10.5×10^{-3}
c	0.60	353	0.31	3.53	0.50	176	175	8.1×10^{-3}	8.2×10^{-3}
d	0.00	352	0	0	0.50	176	175	8.1×10^{-3}	8.2×10^{-3}

مجاورت بستر نفوذپذیر و δ_w از رابطه (۲۰) معین است.

عدد $Re_\delta^t = (H - \delta_w)u_\tau^t/v$ رینولدز جریان در مجاورت مرز صلب بالایی و $C_f = 2(u_\tau/U_b)^2$ است.

شرطی جریان از جمله توزیع سرعت در تخلخل مشابه بستر نفوذناپذیر (تخلخل صفر) بوده و بستر متخلخل رفتاری شبیه بستر نفوذناپذیر از خود نشان داده است. در تخلخل‌های بیشتر، منحنی‌های توزیع سرعت دارای انحصار بیشتری بوده و در تخلخل‌های $U_m/U_b = 95\%$ ، بیشینه‌ی U_m نزدیک‌تر به مرز بالایی میدان رخ داده است. با توجه به رابطه (۲۰) می‌توان نتیجه گرفت که ضریب اصطکاک $C_f = 2(u_\tau/U_b)^2$ با افزایش نفوذپذیری مرز جریان، بزرگ‌تر خواهد شد. این اختلاف در ضریب اصطکاک در تخلخل ۹۵٪، چشمگیر بوده و افزایشی در حدود ۳ برابر داشته است (جدول ۲). بزرگی اصطکاک در بستر نفوذپذیر در تخلخل ۹۵٪، موجب افزایش قابل ملاحظه‌ی نسبت U_m/U_b (در مقایسه با تخلخل صفر) شده است. دلیل آن را می‌تواند لزوم اراضی شرط $\int_0^H \frac{\bar{u}}{U_b} dz = 1$ دانست. با این افزایش نسبت سرعت‌ها، رشد ۳۵٪ در ضریب اصطکاک مرز بالا مشاهده می‌شود.

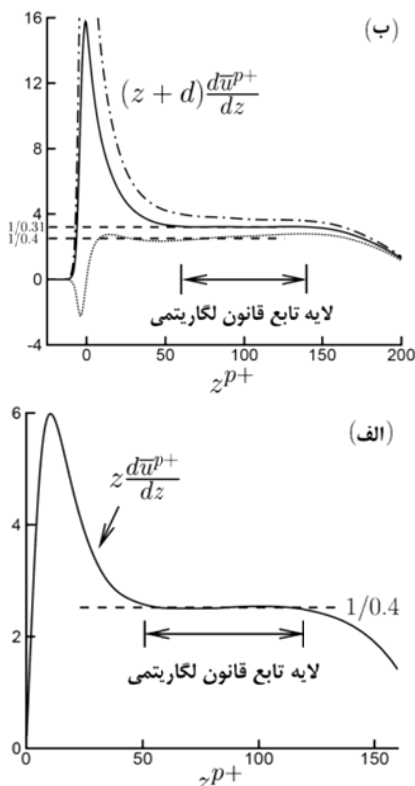
در شکل (۵-ب) یک نقطه‌ی عطف ($d^2\bar{u}/dz^2 = 0$) در



شکل (۵) (الف) توزیع سرعت متوسط در تخلخل مختلف (ϵ_c). جریان در $-1 \leq z/H \leq -0.5$ یکنواخت است. (ب) بزرگنمایی منحنی سرعت در بستر تخلخل صفر: —، تخلخل 60° ;، تخلخل 80° ; ---، تخلخل 95° .

رینولدز نفوذپذیری، $Re_d = \frac{d_p u_t^p}{v}$ رینولدز $Re_k = \sqrt{K_c} u_\tau / v$ زبری، $Re_\delta^p = \delta_w u_\tau^p / v$ و $Re_\delta^t = u_t^p H / v$ رینولدز جریان در

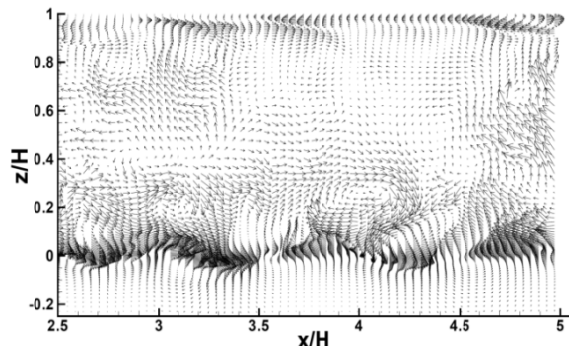
مختلف d^{p+} ، تعیین شود ($\bar{u}/u_t^p = \bar{u}^{p+}$). درون لایه لگاریتمی، مقدار این کمیت باید ثابت و برابر $1/\lambda$ باشد (روابط (۲۳) و (۲۴)). در تخلخل های صفر و 80% این نمودارها در شکل (۷) رسم شده اند.



شکل (۷) (الف) نمودار $(z+d)d\bar{u}^{p+}/dz = f(z^{p+}) = zu_t^p/v$ با تخلخل صفر (۰). (ب) نمودار $(d^{p+} = 0)$. (۰) $(d^{p+} = 21)$ ، (—) $(d^{p+} = 40)$ ، (---) $(d^{p+} = 0) / 80\%$

در تخلخل صفر، $d = 0$ بوده و لایه لگاریتمی (تقریباً) در محدوده $[50 \sim 120]$ قابل تشخیص است. از مماس نمودار، مقدار λ حدوداً $40/0$ حاصل شده که برابر با مقدار تقریبی ثابت ون-کارمن (K) و در تایید مطالب تحلیلی بخش ۵ است. در تخلخل 80% و در $d^{p+} = 21$ لایه لگاریتمی در محدوده $[60 \sim 140]$ مشاهده می شود. همان‌گونه که از شکل هم معلوم است، پس از آزمون و خطای متعدد هم امکان یافتن d^{p+} به گونه‌ای که به ازای آن

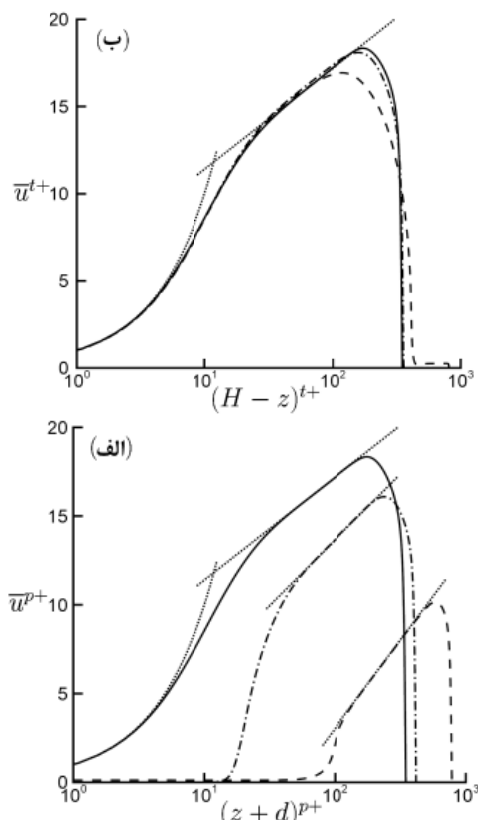
منحنی‌های توزیع سرعت متوسط، قبل از تقاطع آنها با خط مرز نفوذناپذیر مشاهده می شود. وقوع این تغییر انجنا، پیشتر در تحلیل‌های انجام شده در بخش ۵ پیش‌بینی شده بود: سرعت متوسط در بخشی از لایه مرزی بالای بستره نفوذناپذیر توزیعی لگاریتمی (افزایشی) داشته و بلاfaciale درون بستر متخلخل به صورت نمایی رو به کاهش می‌گذارد. معیار رایلی [۳۵] که معتقد است «وقوع نقطه عطف در منحنی توزیع سرعت در جریان آرام یکسویه در ناحیه سیال هموزن، شرط لازم برای وقوع ناپایداری لزج جریان و ورود آن به حیطه آشفتگی است» هم وقوع این نقطه عطف را تایید می‌کند.



شکل (۸) نمایی از میدان سرعت لحظه‌ای جریان (u, v, w) در تخلخل 80%

شکل (۸)، نمایی از میدان جریان لحظه‌ای در تخلخل 80% است. در نزدیکی بستر نفوذناپذیر، ساختارهای گردابه‌ای نسبتاً بزرگی قابل مشاهده‌اند، حضور این گردابه‌ها را می‌توان ناشی از وقوع ناپایداری کلوین-هلمهوتز در این منطقه دانست. تفاوت در ساختار آشفتگی لایه مرزی بالای بستر نفوذناپذیر در مقایسه با لایه مرزی پایین آن پیدا است. برای بررسی میدان جریان متوسط در لایه تابع قانون لگاریتمی، قانون لگاریتمی (معادله (۲۷a)) بر منحنی توزیع سرعت متوسط برآذش داده شده است. برای این منظور ابتدا لازم است امتداد لایه لگاریتمی به کمک ترسیم نمودار تابع $f(z^{p+}) = zu_t^p/v = (z+d)d\bar{u}^{p+}/dz$ برای مقادیر

هم، نشان از عدم تأثیر حضور بستر نفوذپذیر بر میدان جریان در این ناحیه است.



شکل (۸) (الف) سرعت متوسط u^{p+} در لایه مرزی روی بستر نفوذپذیر، تابع ارتفاع جابه‌جا شده بدون بعد $(z+d)^{p+}$. (ب) سرعت متوسط $u^{p+} = \bar{u}/\bar{u}_t^{p+}$ در لایه مرزی مجاور مرز بالایی میدان، تابعی از فاصله از مرز بالایی $(H-z)^{p+}$. تخلخل صفر: —، تخلخل $\alpha/60$: ..., تخلخل $\alpha/80$: --. خطوط نقطه چین مستقیم، برآذش قانون لگاریتمی بر منحنی سرعت متوسط و خطوط نقطه چین منحنی، مقادیر $d^{p+} = z^{p+}$ و $\bar{u}^{p+} = (H-z)^{p+}$ است.

λ (حتی) به $4/0$ نزدیک هم شود، فراهم نشد. انحراف λ از ثابت ون-کارمن در تخلخل‌های زیاد، بیشتر بوده و نزدیک‌ترین مقدار حاصل شده، $0/23$ بوده است. مقدار d^{p+} در تخلخل 60% به قدری کوچک است که نمی‌توان مقداری قطعی و قابل قبول برای آن ارائه داد و مقدار صفر برای آن در نظر گرفته شده است. به این ترتیب رفتار میدان در این تخلخل، مشابه رفتار آن در تخلخل صفر بوده و مقدار λ برابر $40/0$ است. مقادیر d ، z_0 و λ با برآذش حداقل مربع‌های رابطه (۲۴) بر منحنی توزیع سرعت لایه مرزی به دست آمده و در جدول (۳) ارائه شده‌اند. در این جدول، d و z_0 مقیاس‌های طول در رابطه قانون لگاریتمی (رابطه ۲۴) هستند که با $\sqrt{K_c}$ ، d_p ، δ_w و v/u_t^p بی بعد شده‌اند. مقدار d^{p+} در ستون ما قبل آخر از مدل جکسون (۳۶) به دست آمده است. α از برآذش حداقل مربع‌های رابطه (۲۹a) بر منحنی توزیع سرعت متوسط میدان جریان $z/H = [-0.85 \sim -0.02]$ به دست آمده است.

منحنی تغییرات سرعت متوسط در لایه مرزی، روی بستر نفوذپذیر در شکل (۸-الف) نشان داده شده است. همان‌گونه که انتظار می‌رفت، محدوده صحت قانون لگاریتمی با افزایش عدد نفوذپذیری بستر کاهش یافته ولی هم‌زمان و برخلاف انتظار، شیب $1/\lambda$ افزایش یافته است. شکل (۸-ب)، نمودار تغییرات سرعت متوسط در لایه مرزی مرز بالایی میدان را نشان می‌دهد. انطباق منحنی‌ها بر

جدول (۳) توضیح: λ برابر با ثابت ون-کارمن ($K \approx 0.4$) برای بستر نفوذپذیر یا با تخلخل کم.

simulation	λ	$z_0/\sqrt{K_c}$	z_0/d_p	z_0/δ_w	z_0^{p+}	$d/\sqrt{K_c}$	d/d_p	d/δ_w	d^{p+}	$d^{p+} (JM)$	α
a	0.23	5.30	7.32	0.10	49.6	11.3	15.6	0.21	105.6	16.7	0.70
b	0.31	1.33	0.35	0.006	1.41	20.0	5.3	0.10	21.2	4.7	0.99
c	0.40	0.35	0.03	0.0006	0.11	0.0	0.0	0.00	0.0	3.4	--
d	0.40	∞	∞	0.0006	0.11	0.0	0.0	0.00	0.0	0.0	--

$U_m^{p+} - \bar{u}^{p+} = f[(z + d)/\delta_w]$ در شکل (۹-الف) نشان داده شده است که در واقع در هیچ نقطه‌ای انطباق منحنی‌ها اتفاق نیفتد است. اما در (۹-ب) منحنی‌های توزیع سرعت در محدوده‌ی قانون نقصان در $0.2 \geq z/\delta_w$ نسبت‌گردیده‌اند. این مشاهده حاکی از آن است که گردابه‌های یافته‌اند. این مشاهده حاکی از آن است که بزرگ‌مقیاس در ناحیه بیرونی، هنوز تحت تأثیر بستر بزرگ می‌باشد. این مشاهده حاکی از آن است که بزرگ‌مقیاس در ناحیه بیرونی، هنوز تحت تأثیر بستر بزرگ‌پذیر جریان قرار دارند و به وسیله‌ی آن محبوس شده باشند. به وسیله‌ی لایه‌ی برشی محصور شده‌اند. به این ترتیب قانون ناحیه‌ی نقصان سرعت به صورت زیر بازنویسی می‌شود:

$$\frac{U_m - \bar{u}}{u_t^p} = q \left(\frac{z + d - d}{\delta_w} \right) = q \left(\frac{z + d}{\delta_w}, \frac{d}{\delta_w} \right) \quad (33)$$

q تابعی بدون بعد از z/δ_w و d/δ_w است. مشابه معادله (۲۴)، با امتداد خطوط مجانب منحنی‌های توزیع سرعت نواحی بیرونی و درونی و سپس انطباق آنها، رابطه (۳۴) برای توزیع سرعت در ناحیه همپوشانی به دست می‌آید:

$$\lim_{\frac{z+d}{\delta_w} \rightarrow 0} \left[- \left(\frac{z+d}{\delta_w} \right) q' \left(\frac{z+d}{\delta_w}, \frac{d}{\delta_w} \right) \right] = \frac{1}{\lambda} \quad (34)$$

مشتق رابطه (۳۴) نسبت به z/δ_w (دروز) انجام می‌شود. انتگرال‌گیری از این معادله، شکلی متفاوت از قانون لگاریتم را (نسبت به معادله (۲۴) به دست می‌دهد که در آن λ ثابت نبوده و تابعی از $\frac{d}{\delta_w}$ است. بدین ترتیب چرایی و چگونگی تناقض‌های مشاهده شده‌ی اخیر (شکل‌های (۸) و (۹) و جدول (۳) پیدا شده و نتایج به خوبی قابل توجیه خواهند بود. در تخلخل‌های کم (نظیر ۶٪ و صفر) مقادیر $\frac{d}{\delta_w}$ بسیار کوچک بوده و λ به سمت ثابت ون-کارمن (K = 0.4) می‌کند؛ اما برای مقادیر بزرگ $\frac{d}{\delta_w}$ که در تخلخل‌های زیاد مشاهده می‌شود ($0.1 = \frac{d}{\delta_w}$ در $0.8 = \epsilon$ و $0.1 = \frac{d}{\delta_w}$ در

در بسترها زبر، ارتفاع جابه‌جایی در لایه مرزی تابع قانون لگاریتم، با قطر متوسط ذرات بستر (dp) طبق $d/d_p \approx 0.3$ در ارتباط است (جکسون [۳۶]). مطابق نتایج حاصل (جدول (۳) در تخلخل $z_0/d_p = 15.6$ ٪ در تخلخل $z_0/d_p = 0.95$ ٪ این نسبت برابر $5/3$ بوده که بسیار بزرگ‌تر از $0/3$ است. نسبت z_0/d_p هم در تخلخل‌های $0/80$ و $0/95$ ٪ بسیار بزرگ‌تر از معیار تقریبی نیکورادزه ($\frac{1}{30}$) برای جریان‌های با بستر کاملاً زبر به دست آمده است.

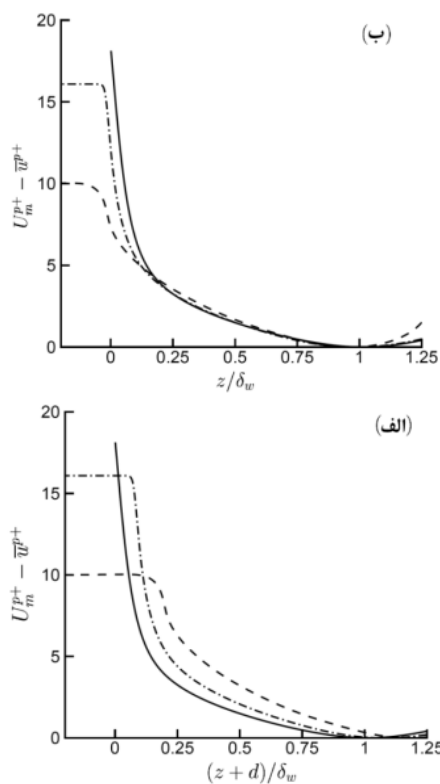
به این ترتیب، رفتار متفاوت بستر نفوذپذیر (در تخلخل‌های $0/80$ و $0/95$ ٪) با بستر فقط زبر مشهود است. مطابق دسته‌بندی هینز (رابطه ۱۷) می‌توان از تأثیر زبری سطح در هر دو تخلخل ($0/80 < Re_d = 4 < 5$) و تخلخل $Re_d = 6.8 \leq 5$ ٪) چشم‌پوشی کرد. نتیجه دیگری هم که پیشتر هم به آن اشاره شد، کاهش غیرمنتظره مقادار λ با افزایش تخلخل است (جدول ۳، ستون ۱ و شکل ۸-الف) به گونه‌ای که در تخلخل $0/90$ ٪ به میزان قابل توجهی کوچکتر از $0/4$ شده است. این نتیجه در تضاد با فرض «عدم تأثیرپذیری مستقیم میدان جریان در ناحیه بیرونی لایه مرزی از وجود بستر» است که در بخش ۴ طی روند استخراج قانون لگاریتم، مورد توجه قرار گرفت. بیان ریاضی این فرض همان قانون نقصان سرعت در ناحیه بیرونی (رابطه ۲۲) است که تنها مقیاس طولی مناسب را ضخامت لایه مرزی (δ_w) دانسته و دلالت بر لزوم ثابت بودن λ را دارد. شاید هم باید از این مشاهده (بسیار کوچکتر بودن λ از $0/4$ ، ثابت ون-کارمن) نتیجه گرفت که رابطه (۲۲) برای بسترها با درجه نفوذپذیری بالا (مانند $0/80$ و $0/95$ ٪) درست نیست. برای بررسی صحت و سقم این ادعا و در صورت لزوم اصلاح قانون لگاریتم، مشاهده و نتیجه حاصل از شکل (۹) می‌توانند کارگشا باشند. توزیع سرعت در ناحیه تابع قانون نقصان سرعت

تنها عامل جذب ممتووم نبوده و گرادیان فشار متوسط هم به عنوان جاذب ممتووم در کنار آن قرار می‌گیرد. در این شرایط $f_e = f - \frac{d\bar{p}}{dx}$ به عنوان درگ مؤثر به صورت زیر تعریف می‌شود:

$$f_e = f - \frac{d\bar{p}}{dx} = -\frac{1}{Re_b Da} \frac{\epsilon}{Da} \bar{u} - \frac{1}{Re_b Da} \frac{\epsilon F_o}{|u|u} |u|u - \frac{1}{Re_b \epsilon} \frac{1}{\partial z} \frac{\partial \epsilon}{\partial z} \frac{\partial \bar{u}}{\partial z} - \frac{d\bar{p}}{dx} \quad (37)$$

و معادله (۳۵) به صورت زیر اصلاح می‌شود:

$$d = d_1 + d_2; \quad d_2 = -\frac{\int z f_e(z) dz}{\int f_e(z) dz}, \quad z < -d_1 \quad (38)$$



شکل (۹) توزیع سرعت در ناحیه تابع قانون نقصان. (الف) $U_m^{p+} - \bar{u}^{p+} = f[(d)/\delta_w]$. (ب) $U_m^{p+} - \bar{u}^{p+} = f[(z+d)/\delta_w]$. تخلخل صفر: —، تخلخل $80\%/-$ ، تخلخل $95\%/-$.

با این اصلاح، هنگامی که $0 \rightarrow K_c \rightarrow \infty$ به سمت مقادیر صحیح میل می‌کند. در تخلخل 95% منحنی تغییرات

$\lambda = 0.95$ نکته، طرح این پرسش که «چرا در بسیاری از تحقیقات پیشین همواره $0.4 \approx \lambda$ بوده!؟» مناسب و به جا باشد. پاسخ این سوال را می‌توان به راحتی در نوع بستر و محیط متخلخلی که در غالب آن پژوهش‌ها فرض بوده جست: در تمامی آنها یا بستر کاملاً زبر و نفوذپذیر بوده یا نوع پوشش گیاهی به گونه‌ای بوده که $1 \ll \frac{d}{\delta_w} \sim \frac{d_p}{\delta_w}$ پیشنهاد جکسون در رابطه با ضخامت جابه‌جایی هم جای تأمل دارد [۳۶]. وی در جریان لایه مرزی، d را با نقطه‌ای که نیروی درگ متوسط‌گیری شده (در ارتفاع) اثر می‌کند، مرتبط می‌داند. بر اساس این ایده، در غیاب گرادیان فشار متوسط و حضور بستر نفوذپذیر می‌توان d را به صورت زیر محاسبه کرد:

$$d = -\frac{\int z f(z) dz}{\int f(z) dz} \quad (35)$$

f نیروی درگ ارتفاعی است. انتگرال روی کل ارتفاع بستر نفوذپذیر انجام می‌شود.

روش جکسون بر اساس ایده ارتباط بین d و عمق نفوذ جریان متوسط در بستر نفوذپذیر است. او معتقد است که ضخامت جابه‌جایی از برقراری تعادل میان پخشیدگی ممتووم درون بستر نفوذپذیر به واسطه لزجت و آشفتگی از یک سو و جذب آن به وسیله نیروی درگ در محیط متخلخل از سوی دیگر، شکل می‌گیرد.

با استفاده از شکل متوسط‌گیری شده رینولدز معادلات حاکم (۳۰a)، می‌توان این رابطه تعادلی را به صورت زیر نوشت:

$$-\frac{1}{Re_b Da} \frac{\epsilon}{Da} \bar{u} - \frac{1}{Re_b Da} \frac{\epsilon F_o}{|u|u} |u|u - \frac{1}{Re_b \epsilon} \frac{1}{\partial z} \frac{\partial \epsilon}{\partial z} \frac{\partial \bar{u}}{\partial z} - \frac{d\bar{p}}{dx} = \frac{1}{\epsilon} \frac{\partial}{\partial z} \left[\frac{\epsilon u' w'}{Re_b} - \frac{1}{Re_b} \frac{\partial \epsilon \bar{u}}{\partial z} \right] \quad (36)$$

مدل جکسون با فرض عدم حضور گرادیان فشار صادق است. در حضور گرادیان فشار متوسط، دیگر نیروی درگ

نفوذپذیر مورد استفاده قرار گرفته است. حل عددی معادلات VANS، منجر به بسته سازی معادلات نیروی درگ و تنش زیرمقیاس فیلتر می‌شود.

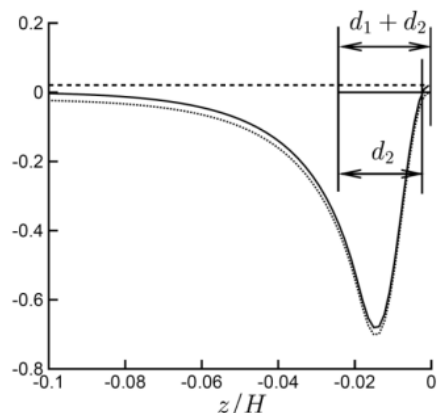
نتایج حل عددی حاصل از چهار دسته شبیه سازی با مقادیر متفاوت تخلخل بستر (ϵ_c) نشانگر آن است که عدد رینولدز نفوذپذیری (Re_K)، پارامتری کلیدی در محاسبات است.

در تمامی شبیه سازی ها، لایهای لگاریتمی در لایه مرزی بالای بستر نفوذپذیر قابل مشاهده است. علاوه بر جایه جایی رو به پایین و قابل انتظار مرز ناحیه تابع قانون لگاریتم (در بسترهای بسیار نفوذپذیر)، برخلاف انتظار افزایش محسوسی نیز در مقدار شبیه منحنی تغییر این منطقه ($1/\lambda$) مشاهده شده است. مطابق نتایج به دست آمده از مشاهده در منطقه بیرونی، قانون نقصان سرعت به جای $d/\delta_w(z+d)/\delta_w$ با مقیاس می‌شود، بنابراین می‌توان کاهش λ را به مقدار نسبتاً بزرگ d/δ_w مرتبط دانست. در بازه‌ی $1 \ll d/\delta_w \ll \lambda$ ، مقدار λ با ثابت ون-کارمن (قریباً $4/0$ برای جریان های روی بستر صلب) برابر است. ملاحظه شد که مدل جکسون نمی‌تواند توجیه و توضیحی برای بروز d/δ_w های بزرگ در تخلخل های زیاد (80% و 95%) داشته باشد.

تفاوت چشمگیر ساختار جریان آشفته در مجاورت بستر نفوذپذیر و بستر نفوذناپذیر در تمام شبیه سازی ها قابل ملاحظه و تأمل است. در بالای بستر با نفوذپذیری زیاد و در جهت جریان عمومی، شبه گردابه ها که از شاخصهای اصلی جریان آشفته روی بستر صلب و غیرقابل نفوذ است، دیده نشدند. این پدیده را می‌توان ناشی از کاهش شدید تنش متوسط دانست که خود ناشی از تخفیف شرط عدم لغوش است. تضعیف اثر بسته شدن بستر و بعد از آن، قابلیت انتقال آزاد آشفتگی در طول فصل مشترک (بستر جریان)، از تشكیل و توسعه این گردابه ها و جریان های موضوعی جلوگیری می‌کند.

کمیت های $-d\bar{p}/dx$ ، f_c و تغییرات $d = d_1 + d_2$ (معادله ۳۸) در شکل (۱۰) نشان داده شده‌اند. مطابق شکل، مجموع d_1 و $d_2 = 16.7$ بیش از ۶ برابر کوچکتر از مقدار تخمین زده شده از برآنش منحنی لگاریتمی بر نمودار توزیع سرعت است! اگرچه مطابق مدل جکسون روند افزایشی این کمیت (d) با افزایش عدد نفوذپذیری بستر در تمامی شبیه سازی ها صحیح و در جدول (۳) قابل قابل مشاهده است؛ اما از این واقعیت نمی‌توان به راحتی گذشت که تمامی آنها خیلی کمتر از مقادیر واقعیشان پیش بینی شده‌اند.

بدین ترتیب در این تحقیق فرض اولیه جکسون مبنی بر اینکه $d = z - d$ ترازی است که در آن نیروی درگ متوسط گیری شده (در ارتفاع) اثر می‌کند، خیلی صحیح و قابل اتکا نیست.



شکل (۱۰) منحنی تغییرات گرادیان فشار، نیروی درگ و نیروی درگ موثر در تخلخل 95% که هر سه با $d = d_1 + d_2$ مطابقت دارند. d_1 و d_2 مولفه های ارتفاع جایه جایی بر اساس مدل جکسون

۸- نتیجه گیری

در این پژوهش روندی پیوستار بر اساس حل معادلات VANS برای تحلیل میدان جریان، درون و بیرون بستر

- ۹ - منابع

- [13] Whitaker S., "The method of volume averaging", Kluwar, Dordrecht, 1999.
- [14] Whitaker S., "A theorical development of the Forchheimer equation", Transport in Porous Media, 25: 27-61, 1996.
- [15] Lesieur M. & Mtais O., "New trends in Large-Eddy-Simulations of turbulent flows", Annual Review of Fluid Mechanics, 28: 45-82, 1996.
- [16] Shaw R.H & Shumann, "Large-Eddy-Simulation of turbulent flow over and within the forests", Boundary Layer Meteorology, 61: 47-64, 1992.
- [17] Dwyer M.J. & Shaw R.H., "Turbulent kinetic energy budgets from a Large-Eddy-Simulation of airflow above and within a forest", Boundary Layer Meteorology, 84: 23-43, 1997.
- [18] Watanabe T., "Large-Eddy-Simulation of coherent turbulence structures over plant canopies", Boundary Layer Meteorology, 112: 307-341, 2004.
- [19] Pokrajak D., "Momentum transfer between a free-surface turbulent flow and turbulent flow within a porous medium", International Journal of Geophysics, Poland Academi of Science, E7 (401): 208-221, 2007.
- [20] Whitaker S., "Advances in theory of fluid motion in porous medium", Industrial and Engineering Chemistry, 121: 14-28, 1979.
- [21] Lumley J.L., "The online open course on turbulence", MIT Open Course Ware website, MIT Press, 2006.
- [22] Quintard M. & Whitaker S., "Transport in ordered and disordered porous media", Transport in Porous Media, 15: 51-70, 1994.
- [23] Homsy G.M. & Zick A.A., "Stokes flow through periodic layers of spheres", Journal of Fluid Mechanics, 115: 13-26, 1982.
- [24] Larson R.E & Higdon J.J.L., "Macroscopic flow near the surface of 2D porous medium, part1. Axial flow", Journal of Fluid Mechanics, 166: 449-472, 1986.
- [25] Larson R.E & Higdon J.J.L., "Macroscopic flow near the surface of 2D porous medium, part1. Axial flow", Journal of Fluid Mechanics, 178: 119-136, 1988.
- [1] Richardson, S., "A new model for the boundary condition of a porous media", Journal of Sluid Mechanics, 49: 327-336, 1991.
- [2] Finnigan, J., "Turbulent in plant canopies", Annual Review of Fluid Mechanics, 32: 519-571, 2000.
- [3] Margerit, J., "Forest fires' modeling, part 1-Thermodynamics equations", International Journal of Heat and Mass Transfer, 45: 1705-1722, 2002.
- [4] Whitaker, S. & Ochoa-Tapia J.A., "Momentum transfer at the boundary condition between a porous medium and fluid region, part 1-Theoretical developmet", International Journal of Heat and Mass Transfer, 38: 2635-2646, 1998.
- [5] Vafai, K. & Kim S.J., " An exact Solution to the interface region between a porous medium and a fluid region", International Journal of Heat and Mass Transfer, 11: 254-266, 1990.
- [6] Zagni, A.F.E & Smith, K.V.H., "Channel flow over permeable bed of graded sphers", Journal of the Hydraulics Devision, 102: 207-222, 1976.
- [7] Zippe H.J. & Graf, W.H., "Turbulent boundary layer flow over permeable and non-permeable rough beds", Journal of Hydraulic Research, 21(1): 51-65, 1983.
- [8] Schets J.A. & Kong F.Y., "Turbulent boundary layer flow over porous beds with different surface geometries", Proceedings of the AIAA 20th Aerospace Science Meeting, AIAA-82-0030, 1982.
- [9] Ruff J.F. & Gelhar L.W., "Turbulent shear flow in the porous mediums", Journal of the Engineering Mechanics Devision, 98: 975-991, 1982.
- [10] Hahn, S. "Turbulent channel flow with permeable walls", Journal of Fluid Mechanics, 450: 259-285, 2002.
- [11] Bear, J., "Dynamics of fluids in porous media", Dover Publications, New York, 1988.
- [12] Saffman, P.G., "On the boundry condition at the surface of porous mediums", Studies in Applied Mathematics, L(2): 93-101, 1981.

- [31] Lage J.L. & Nield D.A., "Two type of pressure drop observed for saturated porous media", Journal of Fluids Engineering, 119: 700-706, 1997.
- [32] Weinbaum S., "Lubrication theory in high compressible porous media", Journal of Fluid Mechanics, 422: 281-317, 2000.
- [33] Bird R.B. & Stewart W.E, "Transport Phenomena", John Wiley and Sons Publication, New York, 2002.
- [34] Whitaker, S. & Ochoa-Tapia J.A., "Momentum transfer at the boundary condition between a porous medium and fluid region, part 1- Some applications", International Journal of Heat and Mass Transfer, 38: 2647-2655, 1998.
- [35] Wesseling, P., "Principles of Computational Fluid Dynamics", Springer Verlag Publication, Berlin, 2001.
- [36] Jackson P.S., "On the displacement hight in the logarithmic velocity profile", Journal of Fluid Mechanics, 111: 15-25, 1981.
- [26] Sahraoui, M. & Kaviani M., "Slip and non-slip boundary conditions at the interface of porous medium", International Journal of Heat and Mass Transfer, 35: 927-943, 1992.
- [27] Lee S.L. & Yang J.H., "Modeling of Forchheimer drag in the fluid flow within a bank of circular cylinders, International Journal of Heat and Mass Transfer, 40: 3149-3155, 1997.
- [28] McDonald I.F., "The basic Ergun equation for flow through porous media", Industrial and Engineering Chemistry, 18: 199-208, 1979.
- [29] Lage J.L., "The fundamental theory of flow through permeable media", Transport Phenomena In Porous Media, Oxford, pp: 1-30, 1998.
- [30] Breugem W.P. & Boersma B.J., "DNS of channel flow over 3D grid of cubes", Applications of Porous Media, Evora Geophysics Center, pp: 27-35, 2004.

An investigation on Effects of Bed Permeability on Characteristics of Turbulent Flow in Various Porosities

M. Shafieefar^{1*}, M. Adjami², S.A.A. Salehi Neyshabouri³

1- Professor of Faculty of Civil and Environmental Engineering, Tarbiat Modares University, Tehran, Iran

2- M.Sc. Student of School of Civil Engineering, Shahrood University, Shahrood, Iran

3- Professor of Faculty of Civil and Environmental Engineering, Tarbiat Modares University, Tehran, Iran

shafiee@modares.ac.ir

Abstract:

The two main characteristics of a porous bed are the bed material diameter – representing its coarseness - and the porosity which represents its permeability. In this paper the effect of bed permeability on the average structure of flow turbulence is investigated. Flow is modeled using an innovative continuum approach based on Volume Averaged Navier-Stokes Equations in several different channel bed porosities. Results of four different simulations with various porosities are presented. Bed permeability can be represented by the permeability Reynolds number, R_{ek} , which is the ratio of effective diameter of porosity and the length scale of eddies near the bed. The Reynolds permeability number (R_{ek}) is the best expression for the bed permeability quantity. In small R_{ek} the bed acts as a solid/rigid boundary and in large R_{ek} , the bed will behave as a high permeable boundary with negligible viscosity effects. Under these conditions, the turbulence eddies along the flow are rarely observable. The reasons can be due to: 1) the mechanism of free turbulence transfer through permeable layer and/or 2) a considerable decrease in the average shear stress due to no wall-blocking and low-viscosity effects. The dominant characteristic of turbulence near a high permeable bed is relatively large eddy structures, probably originating from so-called Kelvin-Helmholtz instabilities. Such flow pattern with large vortexes leads to high momentum exchange between the free channel flow and the two-phase flow in porous media below permeable bed. This process also increases the friction between flow and the substrate and therefore will result in moving the Logarithmic-low region slightly downward. In addition, it is observed that the log-low curve near a high permeable bed is 4% steeper than in solid and rough bed.

Keywords:Continuum approach, Permeable bed, Porosity, Average flow, Navier-Stokes equations,Turbulence flow.